

# Computação Gráfica

## Trabalho Prático - Fase 4

Universidade do Minho, Departamento de Informática  
José Correia, Diogo Abreu, e Rodrigo Monteiro  
{100610, 100646, 100706}@alunos.uminho.pt

Grupo 69

### 1. Introdução

Nesta última fase, foram adicionadas as funcionalidades de iluminação e texturas, e por isso foi necessário o cálculo das normais e das coordenadas de textura para cada tipo de figura.

### 2. Modificações nas estruturas de dados

#### 2.1. Light

Foi adicionado um array de `Light` à classe `Config`, e esta passou a fazer *parsing* dos elementos XML com informação relativamente a iluminação.

```
vector<std::unique_ptr<Light>> lights;
```

Estruturamos esses dados da seguinte maneira, sendo que `PointLight` possui uma posição, `DirectionLight` uma direção, e `SpotLight` uma posição, direção e um valor de *cutoff*.

```
class Light {
public:
    enum class Type { Point, Directional, Spotlight };
    virtual ~Light() {}
    virtual Type get_type() const = 0;
    virtual std::string to_string() const = 0;
};

class PointLight : public Light { ... };
class DirectionalLight : public Light { ... };
class SpotLight : public Light { ... };
```

#### 2.2. Figure

A classe `Figure` passou a ter informação acerca das normais e coordenadas de textura de cada ponto, e acerca da sua cor: *diffuse*, *ambient*, *specular*, *emissive* (*arrays* de 4 valores), e *shininess* (apenas um valor). (Os métodos `from_file` e `to_file` também foram modificados para incluir estes novos dados).

```

class Figure {
public:
    Figure(
        const vector<Point>& points = {},
        const vector<Point>& normals = {},
        const vector<Point>& texture_coords = {}
    );
    ~Figure();

    vector<Point> points;
    vector<Point> normals;
    vector<Point> texture_coords;
    std::string texture_file;

    std::string to_string() const;
    vector<float> to_vector();
    vector<float> get_normals_vector();
    vector<float> get_texture_coords_vector();
    // ...

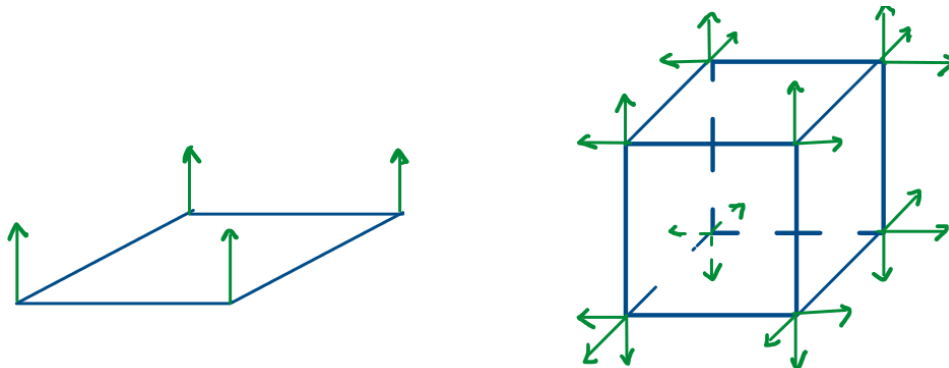
private:
    vector<float> diffuse;
    vector<float> ambient;
    vector<float> specular;
    vector<float> emissive;
    float shininess;
};

```

### 3. Cálculo das normais

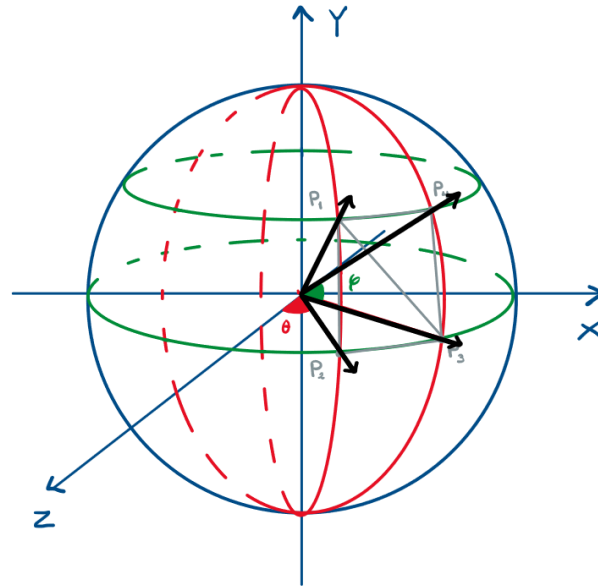
#### 3.1. Plano e Caixa

Cada normal dos planos da caixa aponta para o exterior do objeto.



### 3.2. Esfera

Cada normal da esfera é um vetor normalizado desde o interior da esfera até a um ponto da superfície.



### 3.3. Cone

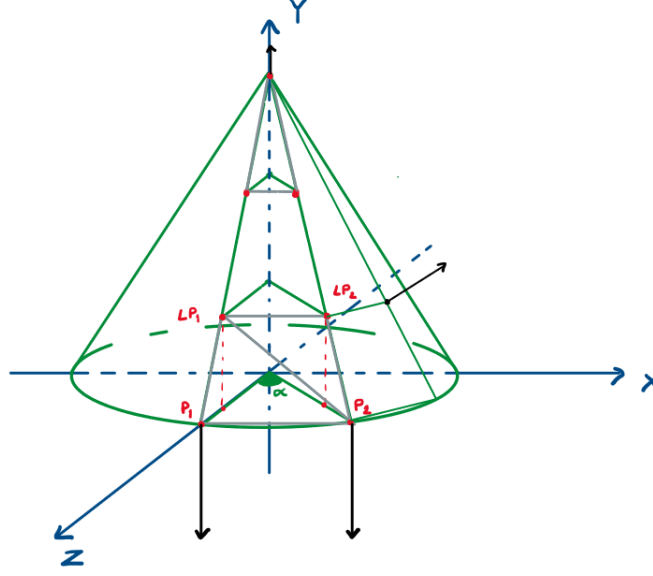
O cálculo das normais dos pontos do cone é composto por duas etapas: o cálculo das normais da base e o cálculo das normais dos vértices das faces laterais.

Para as normais da base, todos os seus pontos têm o vetor normal virado para baixo.

Para as normais das faces laterais, os vértices pertencentes a uma mesma aresta do cone têm sempre a mesma normal, independentemente da altura. Assim, o cálculo do vetor normal dos vértices de uma aresta, é obtido da seguinte forma:

Sendo o vetor B, o vetor que parte do centro da base até ao vértice do topo, e o vetor A o vetor que parte do centro da base até ao início da aresta, pode-se obter um vetor C através do produto vetorial  $A \times B$ . A partir do vetor C, é possível calcular o vetor perpendicular à aresta, «vetor da aresta»  $\times C = N$ .

Por fim, o vértice do topo tem uma normal igual a  $(0, 1, 0)$ .



### 3.4. Superfícies de Bézier

Para calcular as normais de superfícies de Bézier, recorreremos à utilização das seguintes fórmulas:

$$p(u, v) = \begin{bmatrix} u^3 & u^2 & u & 1 \end{bmatrix} M \begin{bmatrix} P_{00} & P_{01} & P_{02} & P_{03} \\ P_{10} & P_{11} & P_{12} & P_{13} \\ P_{20} & P_{21} & P_{22} & P_{23} \\ P_{30} & P_{31} & P_{32} & P_{33} \end{bmatrix} M^T \begin{bmatrix} v^3 \\ v^2 \\ v \\ 1 \end{bmatrix}$$

$$\frac{\partial p(u, v)}{\partial u} = \begin{bmatrix} 3u^2 & 2u & 1 & 0 \end{bmatrix} M \begin{bmatrix} P_{00} & P_{01} & P_{02} & P_{03} \\ P_{10} & P_{11} & P_{12} & P_{13} \\ P_{20} & P_{21} & P_{22} & P_{23} \\ P_{30} & P_{31} & P_{32} & P_{33} \end{bmatrix} M^T V^T$$

$$\frac{\partial p(u, v)}{\partial v} = U M \begin{bmatrix} P_{00} & P_{01} & P_{02} & P_{03} \\ P_{10} & P_{11} & P_{12} & P_{13} \\ P_{20} & P_{21} & P_{22} & P_{23} \\ P_{30} & P_{31} & P_{32} & P_{33} \end{bmatrix} M^T \begin{bmatrix} 3v^2 \\ 2v \\ 1 \\ 0 \end{bmatrix}$$

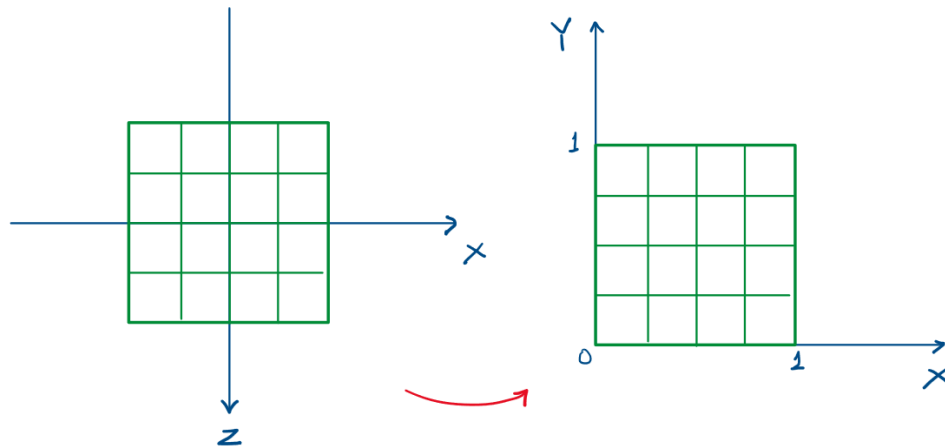
Dados os valores de  $u$  e  $v$ , o procedimento para o cálculo da normal é o seguinte:

$$\begin{aligned} \vec{u} &= \frac{\partial p(u, v)}{\partial u} \\ \vec{v} &= \frac{\partial p(u, v)}{\partial v} \\ \vec{n} &= \vec{v} \times \vec{u} \end{aligned}$$

#### 4. Cálculo das coordenadas de textura

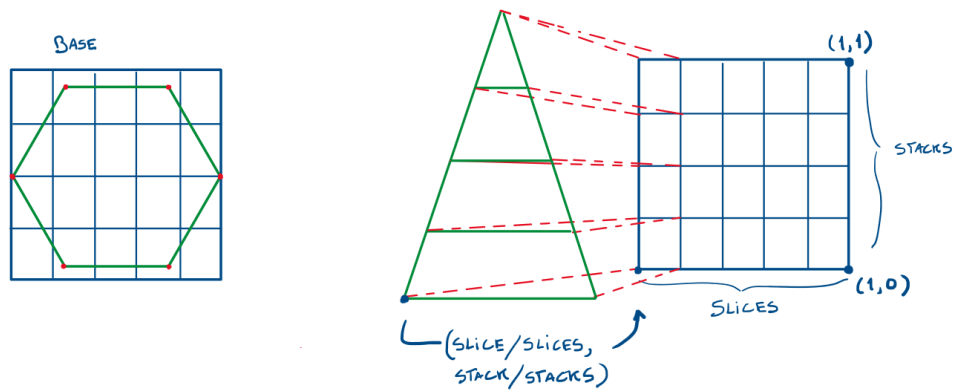
##### 4.1. Plano e Caixa

Cada ponto do plano é mapeado para a textura, ficando com o X e Y entre 0 e 1.



##### 4.2. Cone

Cada face do cone é mapeada para uma dada partição da textura de acordo com a *slice*. Cada face é dividida por *stacks*, formando uma célula que é mapeada para a respectiva célula da partição.



##### 4.3. Esfera

Para o mapeamento das texturas da esfera, dividimos a imagem de textura pelo número de *stacks* e *slices* da esfera. Cada quadrado formado pela divisão da imagem de textura, será mapeado para a respectiva divisão da esfera.

#### 4.4. Superfícies de Bezier

No cálculo das coordenadas de textura das superfícies de Bezier aplicamos a textura a cada *patch*. Portanto, podemos utilizar os parâmetros  $u$  e  $v$  no mapeamento das coordenadas de textura. Assim, as coordenadas de textura são dadas por  $(1 - v, 1 - u)$ .

### 5. Engine

#### 5.1. Iluminação

Adição de código à função `loadBuffersData`:

```
glBindBuffer(GL_ARRAY_BUFFER, buffersN[*index]);
glBufferData(GL_ARRAY_BUFFER, sizeof(float) *
figure_normals_vec.size(), figure_normals_vec.data(), GL_STATIC_DRAW);
buffersNSizes.push_back(figure_normals_vec.size() / 3);
```

Adição de código à função `drawGroups`:

```
glMaterialfv(GL_FRONT, GL_DIFFUSE, f->get_diffuse().data());
glMaterialfv(GL_FRONT, GL_AMBIENT, f->get_ambient().data());
glMaterialfv(GL_FRONT, GL_SPECULAR, f->get_specular().data());
glMaterialfv(GL_FRONT, GL_EMISSION, f->get_emissive().data());
glMaterialf(GL_FRONT, GL_SHININESS, f->get_shininess());

glBindBuffer(GL_ARRAY_BUFFER, buffersN[*index]);
glNormalPointer(GL_FLOAT, 0, 0);
```

Nova função `execute_lights` (chamada na função `renderScene`):

```
void execute_lights() {
    for (unsigned int i = 0; i < c->lights.size(); i++) {
        const auto& light_ptr = c->lights.at(i);
        int CLight = gl_light(i);
        switch (light_ptr->get_type()) {
            case Light::Type::Point: {
                PointLight* point_light = dynamic_cast<PointLight*>(
                    light_ptr.get()
                );
                if (point_light) {
                    glLightfv(CLight, GL_POSITION, point_light->get_pos().data());
                }
                break;
            }
            case Light::Type::Directional: { ... }
            case Light::Type::Spotlight: { ... }
        }
    }
}
```

## 5.2. Texturas

Na inicialização da **Engine**, começamos por carregar para os VBO's os dados relativos aos modelos do ficheiro XML, incluindo as coordenadas de textura e os caminhos para as imagens com as texturas.

Depois, na função **renderScene**, voltamos a percorrer os modelos pela mesma ordem de modo a garantir a aplicação das imagens de textura de forma ordenada aos modelos.

Adição de código à função **loadBuffersData**:

```
if (texture_file != nullptr && *texture_file != '\\0') {
    glBindBuffer(GL_ARRAY_BUFFER, buffersTC[*index]);
    glBufferData(GL_ARRAY_BUFFER, sizeof(float)
        * figure_texture_coords_vec.size,
        figure_texture_coords_vec.data(), GL_STATIC_DRAW);
    loadTexture(texture_file, index);
}
```

Adição de código à função **drawGroups**:

```
const char* texture_file = f->texture_file.c_str();
if (texture_file != nullptr && *texture_file != '\\0') {
    glBindTexture(GL_TEXTURE_2D, textures[*index]);
    glBindBuffer(GL_ARRAY_BUFFER, buffersTC[*index]);
    glTexCoordPointer(2, GL_FLOAT, 0, 0);
}
```

## 6. Resultados dos testes

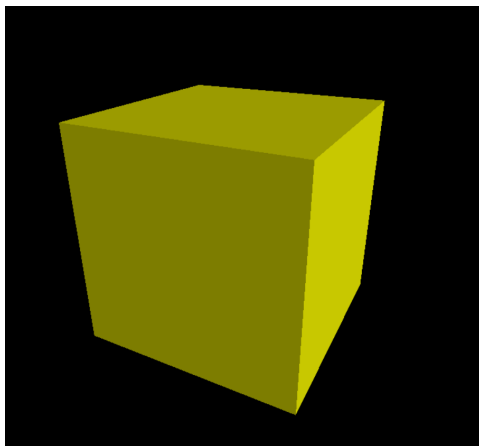


Figure 8: test\_4\_1.xml

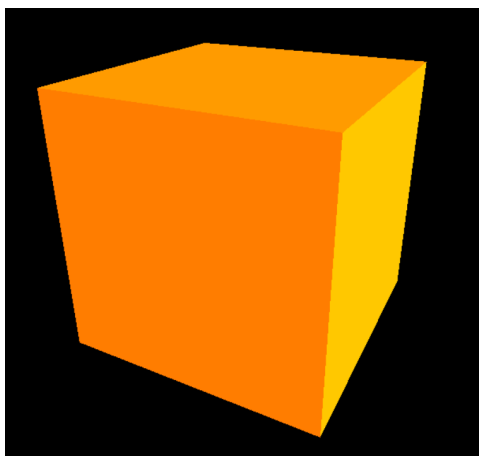


Figure 9: test\_4\_2.xml

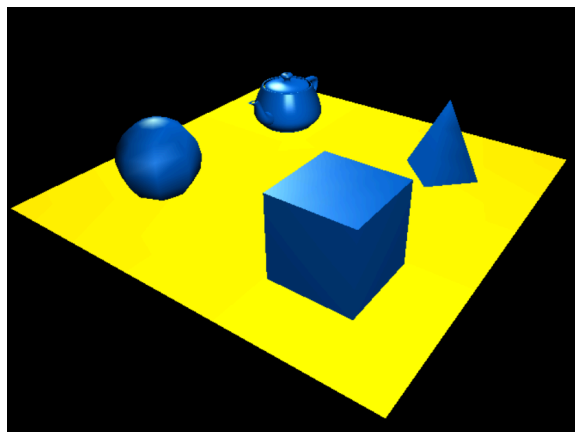


Figure 10: test\_4\_3.xml



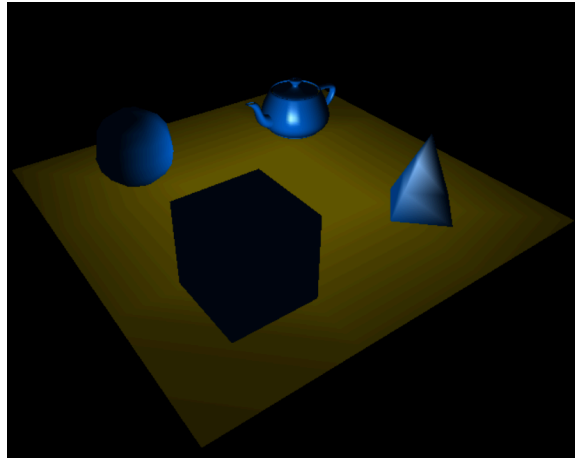


Figure 11: test\_4\_4.xml

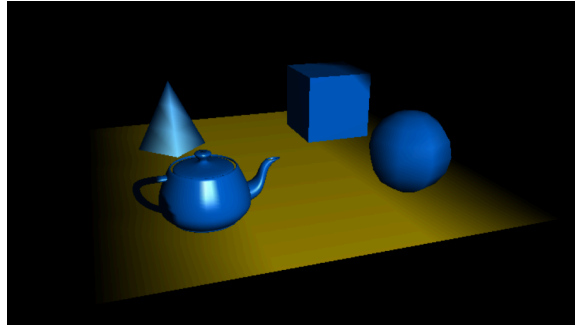


Figure 12: test\_4\_5.xml

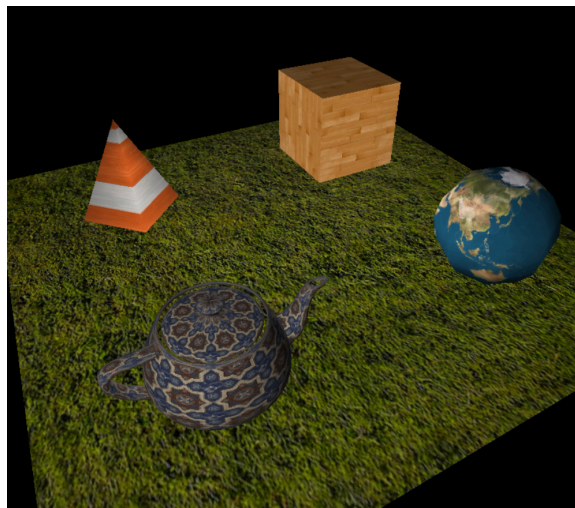


Figure 13: test\_4\_6.xml

## 7. Sistema solar

Utilizamos um *script* em Python para obter um ficheiro XML com um cenário do sistema solar. Para isso, o *script* recebe dados de dois ficheiros – um com dados acerca dos planetas e outro com dados acerca das luas – `planets_and_sun.json` e `satellites.json`. Desses dados, utilizamos as distâncias (entre os planetas e o sol), e os diâmetros, período de rotação e período de órbita.

`planets_and_sun.json`

```
{
  "id": 3,
  "name": "Earth",
  "mass": 5.97,
  "diameter": 12756.0,
  "density": 5514.0,
  "gravity": 9.8,
  "escapeVelocity": 11.2,
  "rotationPeriod": 23.9,
  "lengthOfDay": 24.0,
  "distanceFromSun": 149.6,
  "perihelion": 147.1,
  "aphelion": 152.1,
  "orbitalPeriod": 365.2,
  "orbitalVelocity": 29.8,
  "orbitalInclination": 0.0,
  "orbitalEccentricity": 0.017,
  "obliquityToOrbit": 23.4,
  "meanTemperature": 15.0,
  "surfacePressure": 1.0,
  "numberOfMoons": 1,
  "hasRingSystem": false,
  "hasGlobalMagneticField": false,
  "texture": "earth.jpg"
}
```

`satellites.json`

```
{
  "id": 1,
  "planetId": 3,
  "name": "Moon",
  "gm": 4902.801,
  "radius": 1737.5,
  "density": 3.344,
  "magnitude": -12.74,
  "albedo": 0.12
},
```

Exemplo de um `<group>` de um planeta gerado pelo *script* `solar-system-json-to-xml.py`:

```
<group>
  <transform>
    <rotate time="4" x="0" y="1" z="0"/>
    <translate x="413" y="0" z="0"/>
  </transform>
  <group>
    <!--Earth-->
    <transform>
      <rotate time="24" x="0" y="1" z="0"/>
      <scale x="6" y="6" z="6"/>
    </transform>
  </group>
</group>
```

```

<models>
  <model file="sphere_1_21_21.3d">
    <texture file="earth.jpg"/>
  </model>
</models>
</group>
<group>
  <!--Moon-->
  <transform>
    <rotate time="9" x="0.1" y="1" z="0.0"/>
    <translate x="12" y="0" z="0"/>
    <scale x="1.738" y="1.738" z="1.738"/>
  </transform>
  <models>
    <model file="sphere_1_5_5.3d">
      <texture file="moon.jpg"/>
    </model>
  </models>
</group>
</group>

```

### 7.1. Configurações

Devido à proporção entre o raio dos planetas e a distância entre eles e o sol (sendo que as distâncias estão numa ordem de grandeza muito maior), neste contexto, as dimensões reais não são visualmente satisfatórias, e por isso declaramos algumas variáveis de configuração.

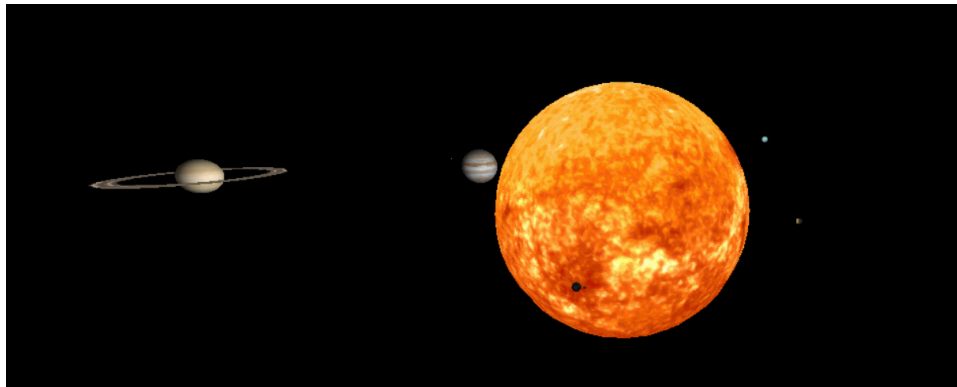
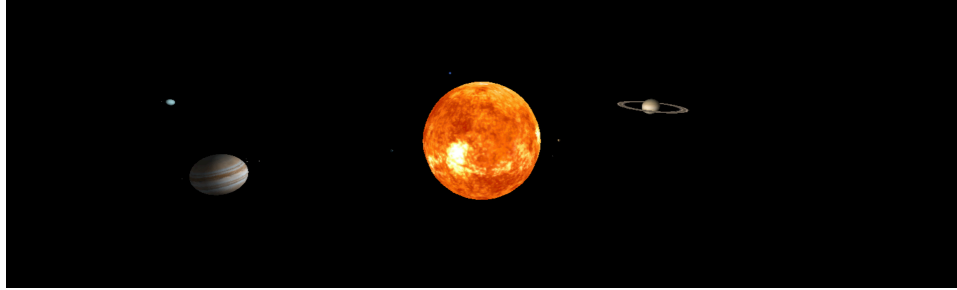
```

SPHERE_MODEL = 'sphere_1_21_21.3d'
LOWER_RES_SPHERE_MODEL = 'sphere_1_5_5.3d'
RING_MODEL = 'ring_3_4_20.3d'
BEZIER_COMET = 'bezier_10.3d'

PLANET_SCALE = 0.001
SUN_SCALE = 0.0004
MOON_SCALE = 0.001
DISTANCE_SCALE = 0.9
COMET_ORBIT_SCALE = 600
MAX_SATELLITES_PER_PLANET = 4
SUN_DEFAULT_DIAMETER = 1391400
ORBITAL_PERIOD_SCALE = 0.01
ROTATION_PERIOD_SCALE = 1

```

## 7.2. Output



## 8. Conclusões

Durante a conclusão da última fase deste projeto, concentramo-nos na implementação das funcionalidades de iluminação e texturas. Para isso, realizamos o cálculo das normais e coordenadas de textura para cada tipo de figura, uma tarefa essencial para a renderização dos modelos.

Ao longo do desenvolvimento, conseguimos implementar com sucesso todas as funcionalidades solicitadas para esta fase, além de algumas extras, o que nos deixou satisfeitos com os resultados alcançados.

Por fim, consideramos que conseguimos consolidar os conhecimentos adquiridos nas aulas de Computação Gráfica, realizando um trabalho adequado.

## References

1. Solar-System: Planets JSON, <https://github.com/Lazzaro83/Solar-System/blob/master/planets.json>